

ارائه یک مدل بر اساس نظریه گروه به منظور برقراری ارتباط بین بردارهای جابه‌جایی ارتعاشی اتمها و
شکل اوربیتالهای اتم مرکزی در ملکولهای $AB_{n(n=2-5)}$

رضا طبیبی

گروه شیمی، دانشگاه تربیت معلم سبزوار

(دریافت مقاله: ۸۱/۱/۲۸؛ دریافت نسخه نهایی: ۸۱/۱۱/۲۰)

چکیده

در این مقاله روشی جدید برای پیش‌بینی نحوه انجام ارتعاشات کششی و خمشی نرمال در ملکولهای AB_2 ، AB_3 ، AB_4 و AB_5 به ترتیب با گروههای نقطه‌ای C_{2v} ، D_{2h} و D_{4h} معرفی شده است. این روش براساس برقراری ارتباط بین بردارهای جابه‌جایی ارتعاشی اتمها متصل به اتم مرکزی و نمایشگاهی استاندارد اوربیتالهای s ، p و d اتم مرکزی، ارائه شده است.

واژه‌های کلیدی: گروه نقطه‌ای، حرکات ارتعاشی، جدول ماهیت

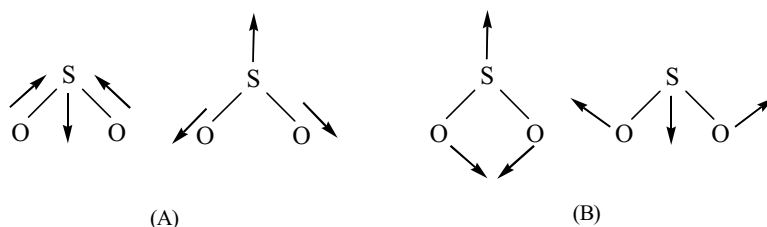
۱. مقدمه

اتفاق می‌افتد که الکترونهای پیوندی یا ناپیوندی ملکول در حالت پایه به اوربیتالهای ملکولی خالی با انرژی بالاتر انتقال یابند. در حالی که تغییر حالات ارتعاشی و خمشی ملکولها منوط به تغییر در جهات، فرکانسها و دامنه‌های حرکات اتمی در ملکول است [۵-۶]. از آنجا که بحث این مقاله پیرامون حرکات ارتعاشی و خمشی ملکولها متمرکز است، توجه شما را به دو نوع ارتعاش خاص در ملکول SO_4 که در شکل ۱ نشان داده شده اند، جلب می‌کنیم.

اتمهای در ملکول SO_4 نسبت به مرکز جرم خود در جهت‌های مشخص شده با پیکانها ارتعاش می‌کنند. در نوع (A) که اصطلاحاً ارتعاش کششی نامیده می‌شود، طول پیوند اکسیژن-گوگرد تغییر می‌کند. اما در نوع (B) حرکت عمود بر محور پیوند بوده و طول پیوند ثابت است. به این نوع حرکت ارتعاش خمشی می‌گویند.

امروزه با پیشرفت چشمگیر کامپیوتر و نرم‌افزارهای محاسباتی می‌توان در مورد خواص فیزیکی و ساختاری بسیاری از ملکولها اطلاعاتی به دست آورد و با استفاده از آنها واکنش‌پذیری و مکانیسم عمل این ملکولها را در واکنشگاهی شیمیابی مطالعه کرد. ساختمان، طول پیوند و زوایای پیوندی از عوامل مهمی هستند که بر ماهیت عمل یک واکنشگر شیمیابی تاثیر مستقیم دارند. بنابراین تعیین این پارامترها از اهمیت ویژه‌ای برخوردار است [۳-۶].

به طور کلی صور مختلف تابشگاهی الکترومغناطیس قادر است از طریق میدان الکتریکی با سیستم ملکولی اثر متقابل داشته باشد و با جذب تابش، منشا انجام انتقالات الکترونی، ارتعاشی، و چرخشی شود. در اسپکتروسکوپی ملکولی، جذب تابش الکترومغناطیس در قالب سه نوع انتقال ملکولی قرار می‌گیرد، که عبارتند از انتقالات الکترونی، ارتعاشی و چرخشی. تغییر حالت الکترونی یک ملکول هنگامی

شکل ۱. ارتعاشات نرمال کششی (A) و خمسی (B) در ملکول SO_2 .

اوربیتالهای اتمی s و p_z تحت تأثیر هیچ یک از اپراتورهای تقارنی تغییر علامت نداده‌اند و بنابراین متعلق به نمایش کاهش‌ناپذیر a_1 هستند. اوربیتال p_x به ترتیب تحت تأثیر عملگرهای تقارنی (σ_v ، σ_h و $C_{\infty v}$) تغییر علامت داده است و به همین دلیل متعلق به نمایش کاهش ناپذیر b_1 است.

اکنون پس از آشنایی با نحوه یافتن نمایشها کاهش ناپذیر اوربیتالهای اتمی در یک ملکول با تقارن مشخص، می‌خواهیم نمایشها کاهش ناپذیر ارتعاشات کششی و خمسی یک ملکول را به دست آوریم.

براساس آنچه در مقدمه عنوان شد، شیوه‌های نرمال ارتعاشی بر اساس تقارن ملکول، به شیوه‌های ارتعاشی کششی و خمسی تقسیم می‌شوند. این ارتعاشات را اصطلاحاً ارتعاشات نرمال یا مدهای نرمال ارتعاشی می‌نامند که در آنها مرکز جرم ثابت بوده و تمام اتمها به طور هم فاز و با فرکانس یکسان ارتعاش می‌کنند. برای ملکولهای غیر خطی تعداد $3N - 6$ شیوه نرمال ارتعاشی وجود دارد. در این رابطه N معرف تعداد اتمها در ملکول است. در یک حالت ساده مانند ملکول SO_2 بر اساس این فرمول سه شیوه ارتعاشی پیش‌بینی می‌شود. بر اساس محاسبات جدول ۲ می‌توان نمایش کاهش ناپذیر دو ارتعاش کششی ($a_1 + b_1$) و ارتعاش خمسی (a_1) را به دست آورد [۱۰-۱۱].

به منظور محاسبه $\Gamma_{translation}$ برای هر عملگر کافی است مجموع کارکترهای بردارهای x, y, z را در جدول ماهیت $C_{\infty v}$ به دست آوریم. دیگر موارد مندرج در جدول ۲ به سادگی با

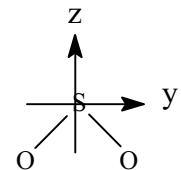
نمایشها کاهش ناپذیر استاندارد اوربیتالهای s و p و d و همچنین ارتعاشات کششی و خمسی نرمال ملکولها بر اساس روش مولیکن تعیین می‌شوند [۶-۹]. در این روش علائم a و b معرف نمایشها تک بعدی هستند. در حالی که علائم e و t به ترتیب معرف نمایشها دو بعدی و سه بعدی هستند. همچنین داریم:

- ۱- نمایشها وابسته به علامت b تحت تأثیر عملگر تقارنی C_n ، محور چرخشی درجه $n\pi$ ، تغییر علامت می‌دهند. در حالی که نمایشها وابسته به علامت تقارنی a تحت تأثیر این عملگر بدون تغییر می‌مانند.
- ۲- برای گروههایی که شامل عنصر تقارنی i (مرکز وارونگی) هستند، اندیس g (گراد) و u (انگرada) نشان می‌دهد که نمایش مورد نظر تحت تأثیر این عملگر به ترتیب تغییر علامت نمی‌دهد یا می‌دهد.
- ۳- برای نمایشها a و b اندیسها 1 و 2 به ترتیب نشان می‌دهند، نمایش مورد نظر تحت تأثیر محور چرخش درجه C_2 ، عمود بر محور اصلی (یا در مواردی که محور C_2 عمود بر محور اصلی وجود ندارد، تحت تأثیر عملگر صفحه انعکاس عمودی σ_v) تغییر علامت نمی‌دهد یا می‌دهد. اندیسها بالای $(//)$ و $(//)$ به ترتیب نشان می‌دهند که نمایش مورد نظر تحت تأثیر عملگر σ_h ، صفحه انعکاس افقی، تغییر علامت نمی‌دهد یا می‌دهد.

برای آشنایی با کاربرد روش مولیکن، جدول ۱ نمایشها کاهش ناپذیر وابسته به هر یک از اوربیتالهای اتمی s و p لایه والانس اتم S را در ملکول SO_2 با گروه نقطه‌ای $C_{\infty v}$ نشان می‌دهد.

جدول ۱. نمایش‌های کاهش‌نایپذیر اوربیتال‌های اتمی s و p لایه والانس اتم S در ملکول SO_2 با تقارن C_{v}

C_{v}	E	C_v	$\sigma_v(\text{xz})$	$\sigma_v(\text{yz})$	نمایش کاهش نایپذیر
s, p_z	۱	۱	۱	۱	a_1
p_x	۱	-۱	۱	-۱	b_1
p_y	۱	-۱	-۱	۱	b_2

جدول ۲. کاراکترهای نمایش‌های وابسته به نمایش‌های کاهش‌نایپذیر ارتعاشات کششی و خمشی در ملکول SO_2 با تقارن C_{v}

نمایش کاهش نایپذیر	E	C_v	σ_{xz}	σ_{yz}
(I) $\Gamma^{\text{translation}}$	۱+۱+۱	۱-۱-۱	۱+۱-۱	۱-۱+۱
(II) تعداد اتمهای جابه‌جا نشده پس از اعمال عملگر	۳	۱	۱	۳
(III) $\Gamma_{\text{total}} = (\text{I}) \times (\text{II})$	۹	-۱	۱	۳
(IV) $(\text{III}) - (\text{I})$	۶	۰	۰	۲
(V) Γ^{rotation}	۳	-۱	-۱	-۱
(VI) $\Gamma_{\text{vibration}} = (\text{IV}) - (\text{V})$	۳	۱	۱	۳
(VII) $\Gamma_{\text{stretching}} = (\text{II}) - ۱$	۲	۰	۰	$۲ = a_1 + b_2$
(VIII) $\Gamma_{\text{bending}} = (\text{VI}) - (\text{VII})$	۱	۱	۱	$۱ = a_1$

به ترتیب با جمع کردن کاراکترهای بردارهای x, y, z, Rx, Ry, Rz در جدول کاراکتر حاصل شده‌اند. این اطلاعات به طور

پراکنده از مراجع [۱۲-۱۴] جمع آوری شده‌اند.

در اینجا N_i تعداد یک نمایه کاهش نایپذیر، R یک اپراتور تقارنی خاص، h درجه گروه (مجموع تعداد عملگرها تقارنی $X_i(R)$) یک گروه نقطه‌ای)، g تعداد عناصر یک کلاس، $X_T(R)$ کاراکتر نمایه کاهش نایپذیر و $X_T(R)$ کاراکتر همان عملگر خاص (R) در نمایه کاهش پذیر است. برای توصیف این فرمول، $\Gamma_{\text{stretching}}$ را در گروه نقطه‌ای C_{v} به صورت زیر کاهش می‌دهیم.

$$\begin{aligned} N_{a_1} &= ۱/۴[g \times X_{a_1}(E) \times X_T(E) + g \\ &\quad \times X_{a_1}(C_v) \times X_T(C_v) + g \times X_{a_1}(\sigma_{xz}) \\ &\quad \times X_T(\sigma_{xz}) + g \times X_{a_1}(\sigma_{yz}) \times X_T(\sigma_{yz})] = \\ &= ۱/۴(1 \times 1 \times 2 + 1 \times 1 \times 0 + 1 \times 1 \times 0 + 1 \times 1 \times 2) = ۱, \end{aligned}$$

دانستن $\Gamma_{\text{translation}}$ و تعیین تعداد اتمهای جابه‌جا نشده پس از اعمال هر عملگر بدست می‌آید. بر این اساس نمایه کاهش نایپذیر ارتعاشات کششی و خمشی به شرح زیر از جدول ۲ استخراج می‌شوند.

	E	C_v	σ_{xz}	σ_{yz}
$\Gamma_{\text{stretching}}$	۲	۰	۰	۲
Γ_{bending}	۱	۱	۱	۱

خود نمایه کاهش نایپذیر بوده و در واقع متعلق به نمایه کاهش نایپذیر a_1 است. اما $\Gamma_{\text{stretching}}$ نمایه کاهش پذیر بوده و بر اساس فرمول زیر کاهیده می‌شود.

$$N_i = ۱/h \sum g X_i(R) X_T(R).$$

اکنون برای آنکه دامنه کاربرد و قابلیت این روش بهتر مشخص شود، قصد داریم شیوه‌های ارتعاشی یون CO_2 با تقارن D_{2h} را به دست آوریم. براساس روش توصیف شده در مورد ملکول SO_4 ، محاسبات جدول ۳ نشان می‌دهد ارتعاشات کششی و خمشی پیوندهای $C-O$ به ترتیب دارای نمایشهای e' و a'_1 هستند. همچنین براساس جدول ۴ که از جدول ماهیت گروه نقطه‌ای D_{2h} راجع به نمایشهای کاهش ناپذیر اوربیتالهای اتمی s و p استخراج شده‌اند، مشخص است که اوربیتالهای اتمی s و p_x یا p_y در اتم کربن به ترتیب دارای تقارن e' و a'_1 هستند. در حالی که اوربیتال اتمی p_z دارای تقارن a'_2 است.

اکنون اوربیتالهای s و p لایه والانس اتم کربن را در سیستم مختصات تعریف شده رسم نموده و سپس شیوه‌های ارتعاشی کششی و خمشی را روی این اوربیتالها پیاده می‌کنیم. شکل ۵ تصویر ساده ارتعاشات کششی (الف) و خمشی (ب) نرمال در یون CO_2 براساس تقارن اوربیتالهای اتمی s و p را نشان می‌دهد.

به عنوان مثال سوم، می‌خواهیم شیوه انجام ارتعاشات نرمال کششی و خمشی را در ملکول XeF_4 به دست آوریم. مطابق آنچه در مثالهای قبل گفته شد، ابتدا نمایشهای کاهش ناپذیر ارتعاشی را بر اساس محاسبات جدول ۵ به دست می‌آوریم. پس از کاهش نمایشهای کاهش ناپذیر حاصل، نمایشهای کاهش ناپذیر ارتعاشات کششی (e_u, b_{1g}, a_{1g}) و خمشی (e_u, b_{2g}, a_{2u}) حاصل می‌شوند.

اکنون نمایشهای کاهش ناپذیر کلیه اوربیتالهای اتمی s و p اتم Xe را از جدول ماهیت گروه نقطه‌ای D_{4h} استخراج کرده و جدول ۶ را تشکیل می‌دهیم. حال با در نظر گرفتن نمایشهای کاهش ناپذیر حرکات ارتعاشی و خمشی، اوربیتالهایی را که دارای نمایش کاهش ناپذیر مشابه با این ارتعاشات هستند، ترسیم می‌کنیم. اکنون می‌توان گفت اوربیتالهای اتمی x^2-y^2 ، $d_{x^2-y^2}$ و p_x یا p_y می‌توانند پایه‌ای برای نمایش ارتعاشات کششی (شکل ۶ الف) و اوربیتالهای p_z و d_{xy} برای نمایش ارتعاشات خمشی (شکل ۳ ب) در ملکول XeF_4 به کار روند. از آنجا که هیچ یک از اوربیتالهای اتمی

به همین صورت به دست می‌آید:

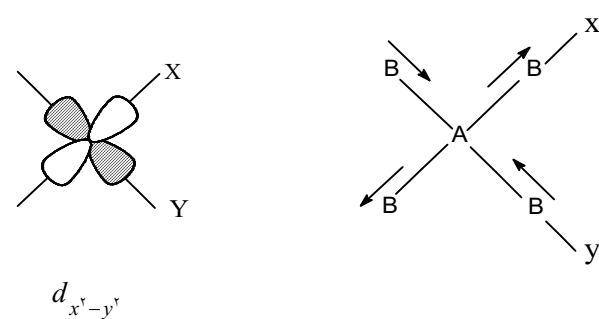
$$N_{b_1} = 0 \quad N_{b_2} = 1 \quad N_{a_1} = 0$$

بنابر این نمایه‌های کاهش ناپذیر حاصل از $\Gamma_{\text{stretching}}$ عبارتند از b_2 و a_1 .

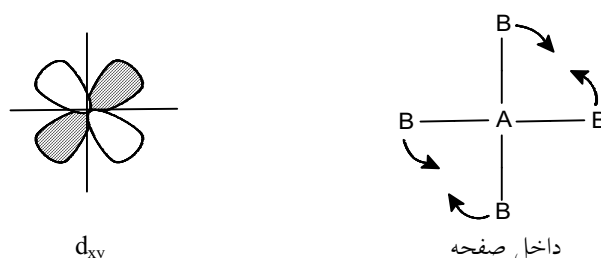
در روش ارائه شده در این مقاله فرض می‌شود که ارتعاشات کششی و خمشی نرمال ملکولهای ساده به خوبی با نحوه پخش چگالی احتمال اوربیتالهای هیبریدی اتم مرکزی تطابق دارد. به این معنی که با در نظر گرفتن چگالی احتمال پخش زاویه ای توابع موج اوربیتالهای اتمی در صفحه xz ، yz ، xy ، می‌توان تنها با یک فرض ساده حرکات پیچیده ارتعاشی و خمشی ملکولها را تخمین زد [۱۲-۱۴].

شکل ۲ ارتعاشات کششی، را توصیف می‌کند. این شکل نزدیک شدن اتمهای B به اتم مرکزی را با لب مثبت (تیره) پخش زاویه‌ای تابع موج اوربیتالها و دور شدن آنها را از اتم مرکزی با لب منفی (روشن) پخش زاویه‌ای تابع موج اوربیتالها مطابقت می‌دهد (الگو سازی ارتعاشات کششی). به همین صورت در شکل ۳ برای توصیف ارتعاشات خمشی نیز فرض می‌کنیم نزدیک شدن اتمهای B در داخل یا خارج از صفحه ملکول به یکدیگر معادل لب مثبت (تیره) قسمت زاویه‌ای تابع موج اوربیتالی و دور شدن آنها از یکدیگر، معادل لب منفی (روشن) تابع موج است (الگو سازی ارتعاشات خمشی).

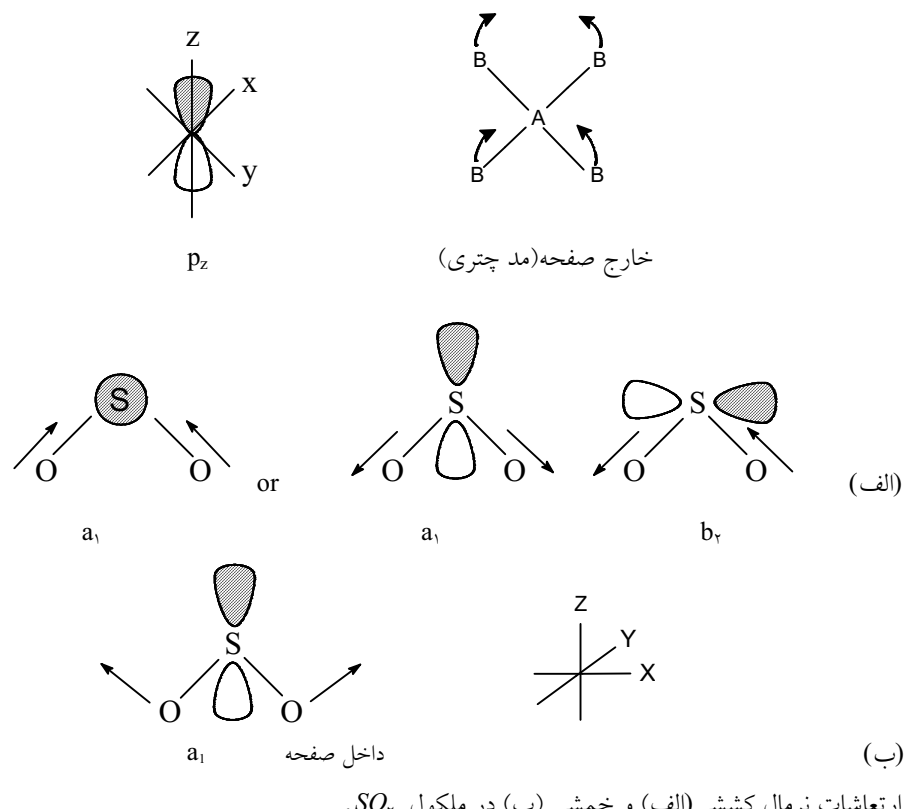
اکنون با دانستن این فرضیات سعی می‌کنیم با استفاده از شکل اوربیتالهای s و p اتم گوگرد در ملکول SO_4 ، چگونگی انجام شیوه‌های ارتعاشی آن را به دست آوریم. همان‌گونه که از جدول ۲ محاسبه شد، ارتعاشات کششی این ملکول متعلق به نمایشهای کاهش ناپذیر a_1 و b_2 بوده و ارتعاش خمشی آن نمایه کاهش ناپذیر a_1 دارد. نگاهی به جدول ۱ نشان می‌دهد اوربیتالهای اتمی s و p_y و اتم گوگرد نیز در گروه نقطه‌ای C_{2v} به ترتیب دارای نمایشهای کاهش ناپذیر a_1 ، a_1 و b_2 هستند. اکنون با در نظر گرفتن جدول ۱ و آنچه گفته شد، اوربیتالهای s و p_x و اتم گوگرد را در سیستم مختصات معرفی شده در جدول ۱ ترسیم کرده و بر اساس آن نحوه انجام ارتعاشات را تخمین می‌زنیم (شکل ۴).



شکل ۲. الگوسازی ارتعاشات کششی.



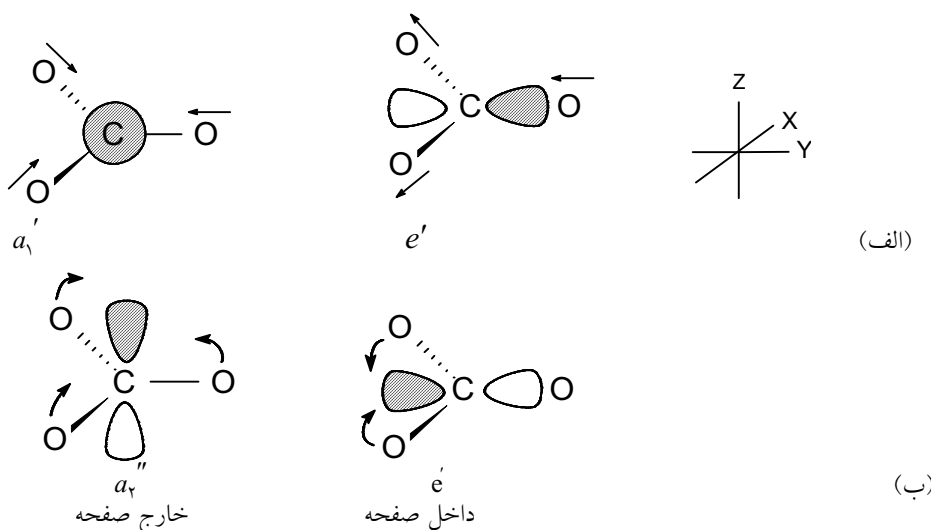
شکل ۳. الگوسازی ارتعاشات خمیشی.

شکل ۴. ارتعاشات نرمال کششی (الف) و خمیشی (ب) در ملکول SO_4 .

جدول ۳. کاراکترهای وابسته به نمایش‌های کاهش‌ناپذیر کششی و خمشی در یون CO_2^-

D_{rh}^*	E	C_r	C_2	σ_h	S_2	σ_v
(I)	۳	۰	-۱	۱	-۲	۱
(II)	۴	۱	۲	۴	۱	۲
(III)	۱۲	۰	-۲	۴	-۲	۲
(IV)	۹	۰	-۱	۳	۰	۱
(V)	۳	۰	-۱	-۱	۲	-۱
(VI)	۶	۰	۰	۴	-۲	۲
(VII)	۳	۰	۱	۳	۰	$1 = a'_1 + e'$
(VIII)	۳	۰	-۱	۱	-۲	$1 = a''_2 + e'$

* موارد (I) تا (VIII) در جدول شماره ۲ توضیح داده شده اند.

شکل ۵. ارتعاشات کششی (الف) و خمشی (ب) نرمال در یون CO_2^- .جدول ۴. نمایش‌های کاهش‌ناپذیر اوربیتالهای اتمی s و p لایه والانس در گروه نقطه‌ای D_{2h}

D_{rh}	E	$2C_r$	$3C_2$	σ_h	$2S_2$	$3\sigma_d$	نمایش کاهش‌ناپذیر
s	۱	۱	۱	۱	۱	۱	a'_1
p_x, p_y	۲	-۱	۰	۲	-۱	۰	e'
p_z	۱	۱	-۱	-۱	-۱	۱	a''_2

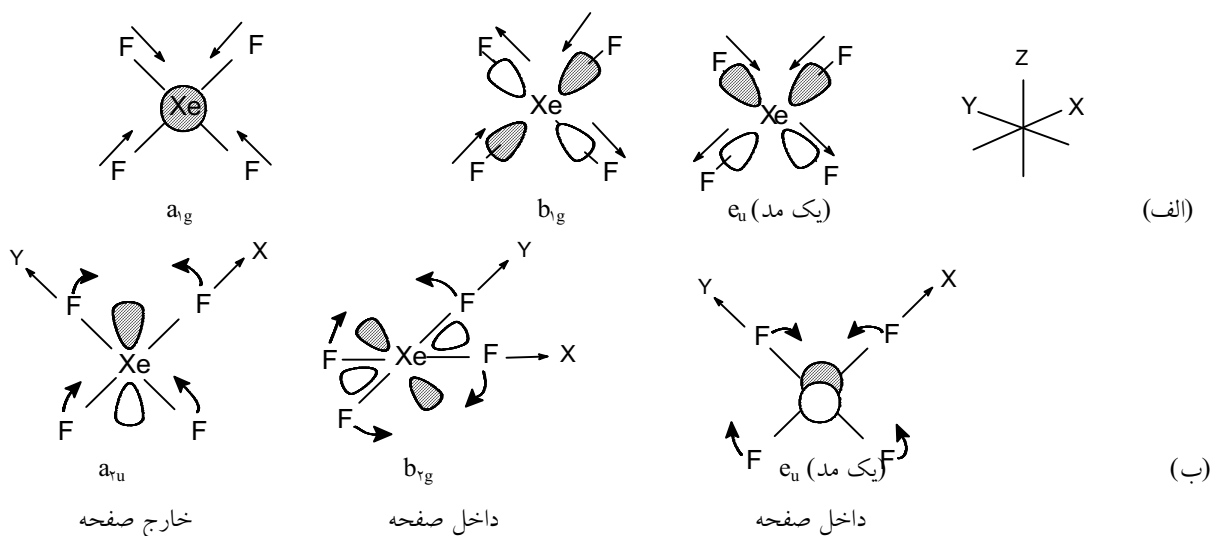
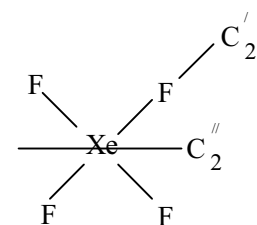
جدول ۵. کاراکترهای وابسته به نمایش‌های کاهش‌نایذیر ارتعاشات کششی و خمشی در ملکول XeF_4 .

D_{4h}^*	E	C_4	C_2	C_2'	C_2''	i	S_i	σ_h	σ_v	σ_d
(I)	۳	۱	-۱	-۱	-۱	-۳	-۱	۱	۱	۱
(II)	۵	۱	۱	۳	۱	۱	۱	۵	۳	۱
(III)	۱۵	۱	-۱	-۳	-۱	-۳	-۱	۵	۳	۱
(IV)	۱۲	۰	۰	-۲	۰	۰	۰	۴	۲	۰
(V)	۳	۱	-۱	-۱	۱	۳	۱	-۱	-۱	-۱
(VI)	۹	-۱	۱	-۱	۱	-۳	-۱	۵	۳	۱
(VII)	۴	۰	۰	۲	۰	۰	۰	۴	۲	$= a_{1g} + b_{1g} + e_u$
(VIII)	۵	-۱	۱	-۳	۱	-۳	-۱	۱	۱	$= a_{\gamma u} + b_{\gamma u} + b_{\gamma g} + e_u$

* موارد (I) تا (VIII) در جدول شماره ۲ توضیح داده شده‌اند.

جدول ۶. نمایش‌های کاهش‌نایذیر اوربیتال‌های لایه والانس s و p در گروه نقطه‌ای D_{4h} .

نمایش کاهش‌نایذیر											
D_{4h}	E	$2C_4$	C_2	$2C_2'$	$2C_2''$	i	$2S_i$	σ_h	$2\sigma_v$	$2\sigma_d$	
s	۱	۱	۱	۱	۱	۱	۱	۱	۱	۱	a_{1g}
p_x, p_y	۲	۰	-۲	۰	۰	-۲	۰	۲	۰	۰	e_u
p_z	۱	۱	۱	-۱	-۱	-۱	-۱	-۱	۱	۱	$a_{\gamma u}$
$d_{x^2-y^2}$	۱	-۱	۱	۱	-۱	۱	-۱	۱	۱	-۱	b_{1g}
d_{xy}	۱	-۱	۱	-۱	۱	۱	-۱	۱	-۱	۱	$b_{\gamma g}$

شکل ۶. ارتعاشات کششی (الف) و خمشی (ب) نرمال در ملکول XeF_4 .

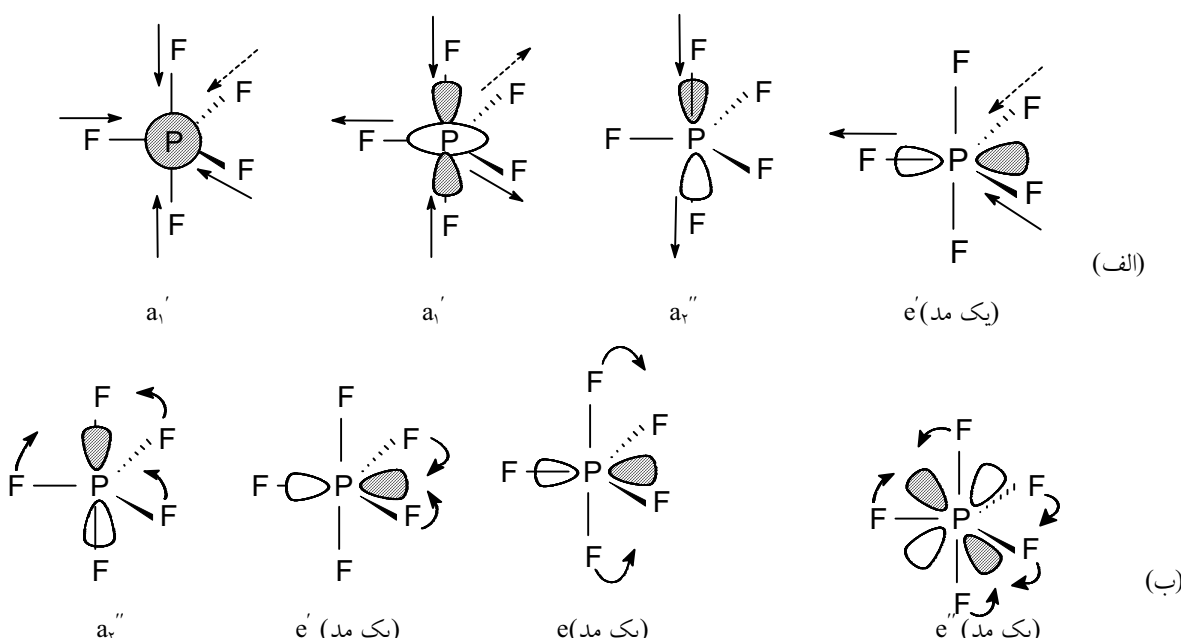
جدول ۷. کاراکترهای وابسته به نمایش‌های کاهش‌نایزدیر ارتعاشات کششی و خمشی در ملکول PF_5 .

D_{rh}^*	E	C_v	$C_{\bar{v}}$	σ_h	S_v	σ_v
(I)	۳	۰	-۱	۱	-۲	۱
(II)	۶	۳	۲	۴	۱	۴
(III)	۱۸	۰	-۲	۴	-۲	۴
(IV)	۱۵	۰	-۱	۳	۰	۳
(V)	۳	۰	-۱	-۱	۲	-۱
(VI)	۱۲	۰	۰	۴	-۲	۴
(VII)	۵	۲	۱	۳	۰	$۳ = 2a_1' + a_2'' + e'$
(VIII)	۷	-۲	-۱	۱	-۲	$1 = a_2'' + 2e' + e''$

* موارد (I) تا (VIII) در جدول شماره ۲ توضیح داده شده‌اند.

جدول ۸. نمایش‌های کاهش‌نایزدیر اوربیتالهای s و p لایه والانس در گروه نقطه‌ای D_{2h} .

D_{2h}	E	$2C_v$	$2C_{\bar{v}}$	σ_h	$2S_v$	$2\sigma_d$	نمایش کاهش‌نایزدیر
s, d_{z^2}	۱	۱	۱	۱	۱	۱	a_1'
p_x, p_y	۲	-۱	۰	۲	-۱	۰	e'
p_z	۱	۱	-۱	-۱	-۱	۱	a_2''
d_{xz}, d_{yz}	۲	-۱	۰	-۲	۱	۰	e''

شکل ۷. ارتعاشات کششی (الف) و خمشی (ب) در ملکول PF_5 .

با گروه نقطه‌ای D_{2h} با استفاده از روش ارائه شده در این مقاله و براساس نتایج جداول ۷ و ۸ نشان می‌دهد.

b_{7u} و d اتم مرکزی دارای نمایش کاهش ناپذیر نمی‌باشد، تعیین نحوه انجام این شیوه ارتعاش خمثی با استفاده از این روش مقدور نیست.

به عنوان آخرین مثال، شکل ۷ برخی از مهمترین ارتعاشات نرمال کششی (۷-الف) و خمثی (۷-ب) را در ملکول PF_5

مراجع

9. G Hersberg, "Molecular Spectra and Molecular Structure, Intrared and Raman Spectra" Van Nostrand, NewYork (1945).
10. L A Woodward, "Introduction to the Theory of Molecular Vibrations and Vibrational Spectroscopy", Oxford University Press, New York (1972).
11. F A Cotton, "Chemical Applications of Group Theory", 3rd ed., Wiley-Interscience, New York (1990).
12. B N Figgis, "Ligand Field Theory", (1964) Chapt. 1.
13. Eyring Walter and Kimbal, "Quantum Chemistry", John Wiley (1944).
14. George Mc Clure, *Prog. Inorg. Chem.*, 1, 381 (1959).
1. E Karel, *Collect. Czech. Chem. Commun.*, **56** (1991) 505.
2. T R Cundari and M Russo, *J. Chem. Inf. Comput. Sci.* **41** (2001) 281.
3. H Michio and H Chisto, *Org. Mass. Spectrom.*, **25** (1990) 329.
4. R S Drago, "Physical Methods for Chemists", Saunders College Publishing Mexico(1992).
5. E B Wilson, J C Decius and P C Cross, "Molecular Vibration," Mc Graw-Hill, NewYork (1955).
6. G Barrow, "Introduction to Molecular Spectroscopy", Mc Graw-Hill NewYork (1962).
7. B E Douglas and C A Hollingsworth, "Symmetry in Bonding and Spectra, an Introduction", Academic Press. London (1985).
8. E N Ebsworth and D W H S Rankin, "Strnuclear Methods in Inorganic Chemistry", Blackwell Scientific Publications, London (1991).